

Li-Hao

$\text{Li}_2 X^+$

1939

$X = \text{Cl}, \text{F}, \text{Br}, \text{I}$. Mixture T. d.

Cubaneic acid

Expt. 1000

III, II.

$H - 231$

Dissociation

J. Chem. Phys. 1939

1939, 30, 26, 1418-21

Li_2X_2

$\text{X} = \{\text{Cl}, \text{Br}, \text{I}\}$

F. QD.

(1960)

4B87. Молекулярная структура димеров хлористого лития. Термодинамические функции Li_2X_2 ($\text{X} = \text{Cl}, \text{Br}, \text{I}$). Bauer S. H., Ino Tadashi, Porter Richard F. Molecular structure of lithium chloride dimer. Thermodynamic functions of Li_2X_2 ($\text{X} = \text{Cl}, \text{Br}, \text{I}$). «J. Chem. Phys.», 1960, 33, № 3, 685—691 (англ.)—Методом электронной дифракции исследована структура Li_2Cl_2 . Изложена техника эксперимента, и проведен анализ эксперим. данных. В предположении плоской алмазоподобной структуры получены следующие значения углов и межатомных расстояний: $\text{Li}-\text{Li}$ 2,64 Å; $\text{Cl}-\text{Cl}$ $3,61 \pm 0,03$ Å; $\text{Li}-\text{Cl}$ $2,23 \pm 0,03$ Å; $\angle \text{ClLiCl}$ $108^\circ \pm 4^\circ$. Полученные значения структурных параметров (СП) Li_2Cl_2 сравниваются с имеющимися в литературе теоретич. данными.

СИ. Н/об

Ф. 1961. № 4

Такое же сравнение проведено для СП димеров Li_2Br_2 и Li_2J_2 (эксперим. и теоретич. значения СП для этих димеров взяты из литературных источников). Приведены значения термодинамич. ф-ций (теплоемкость, энтропия, энтальпия и свободная энергия) димерных состояний галогенидов лития (Li_2Cl_2 , Li_2Br_2 и Li_2J_2), рассчитанных в интервале т-р 298,16—5000,00° К.

Е. Пшеничнов

1961

Б99-189-X

266

LiF
LiCl
LiBr
LiJ
димеры

Б130. Инфракрасные спектры димерных галогенидов лития. Клемперер William, Norris, Wilfred G. Infrared spectra of the lithium halide dimers. «J. Chem. Phys.», 1961, 34, № 3, 1071—1072 (англ.).—Изучены ИК-спектры поглощения парообразных галогенидов лития. Помимо поглощения, измеренного ранее (РЖХим, 1958, № 9, 27626) и отнесенного к мономерам, обнаружено дополнительно по две полосы для каждого галогенида (в см^{-1}): LiF 640 и 460; LiCl 460 и 335; LiBr 413 и 295; LiJ 375 и 348. Приимая плоское ромбич. строение димеров, авторы относят эти полосы к вал. кол. B_{2u} и B_{3u} .

В. Коряжкин

x. 1962.1.



1961
266

B90-189-X

Infrared spectra of the lithium halide dimers. William Klemperer and Wilfred G. Norris (Harvard Univ.). *J. Chem. Phys.* 34, 1071-2(1961).—The following values of the absorption max. of the Li halide dimers in cm^{-1} were detd.: LiF, 640, 460; LiCl, 460, 335; LiBr, 413, 295; LiI, 375, 248. The 2 observed vibrations were assigned to the B_{2u} and B_{3u} bond-stretching motions.

Henry Leidheiser, Jr.

C.A. 1962 57 1
117a



для оммеля 7410 [1962]

X=F, Cl, Br, Й

Корякский Б. А.; egg.

(4, n) Весна. Моск. губ-я

Сеп. кур. 1962, № 2

15-20

1964

LFR
LiCl
LiBr
LJ
NaF
(Lipman, no. 5)

19848 (UCRL-11828(p.193-7)) MOLECULAR BEAM ELECTRIC RESONANCE EXPERIMENTS ON LiF, LiCl, LiBr, LiI, AND NaF. Alvin J. Hebert, Troy L. Story, Jr., Francis W. Breivogel, Jr., Craig D. Hollowell, and Kenneth Street, Jr. (Lawrence Radiation Lab., Univ. of California, Berkeley).

The molecular beam electric resonance method was used to study the molecular properties of $^6\text{Li}^{19}\text{F}$, $^7\text{Li}^{19}\text{F}$, $^6\text{Li}^{35}\text{Cl}$, $^6\text{Li}^{37}\text{Cl}$, $^6\text{Li}^{79}\text{Br}$, $^6\text{Li}^{81}\text{Br}$, $^7\text{Li}^{79}\text{Br}$, $^6\text{Li}^{127}\text{I}$, and $^{23}\text{Na}^{19}\text{F}$. Values are reported for rotational constants, dipole moments, quadrupole coupling constants, and spin-rotation and spin-spin interaction constants of molecules in different vibration states and in low rotational states. (D.L.C.)

+ Yung

USA · 1965 · 19·11



$^6\text{LiCl}$

$\gamma = 1 \rightarrow \gamma = 0$

$^{6\text{Li}}\text{Cl}$

$$B_0 = 23321,088 \pm 0,006$$

$$B_1 = 23682,420 \pm 0,007$$

$$B_2 = 23396,844 \pm 0,012$$

$$B_0 = 23781,615 \pm 0,009$$

Mc/see

$\text{Li}(\text{Li}_2\text{F}_2; \text{Li}_2\text{Cl}_2; \text{Li}_2\text{Br}_2; \text{LiCl}; \text{LiBr}; \text{LiF})$ (1) 1966

Bergstein M., Ron

Israel J. Chem., 1966, 4,

N.Y., U.S.

(P)

No.

Ecological N.

ppp1967

BEP 3983-X

1967

LiF, LiCl, LiBr, Li⁹(γe, de, D)

Tasi M. P., Doyama M.,

Phys. Rev., 1967, 160, N3,

716 - 718

BΦ 3982- \bar{x}

1968

LiH, LiF, LiCl, LiBr, LiI

(frägsam. u. koresam. 10cm.)

Dass h; Saxena S.C.
Indian J. Pure Appl. Phys.,

1968, 6 (2), 102-104

Li₂Cl₂, Краснов R.C., E.B., Моро - 1968
Li₂Br₂, Зоб, B.C.. Тихореческ.,
Li₂Y₂. T.R. Дасенова. 444.

(н.н.)

оттиск А-1303 "Труды Ивановского химико-технического института

1968, том. 10, 36-41.

Гаогенчидов шахматных (D₀) в 1969

Чекалев Е.Н., X4713

Хим. Всес. земер., 1969, 3, № 6, 491-4 (рус.)

Мас-спектры ионизированных молекул.

5,10 ♂

CA, 1970, 72, N14, 72190 W

Reviews of (new) use, men. 1972

64420w Interionic distances in the liquid alkali halides.

Melnichak, M. E.; Kleppa, O. J. (Dep. Chem., Univ. Chicago, Chicago, Ill.). *Rev. Chim. Miner.* 1972, 9(1), 63-70 (Eng). Methods used to obtain interionic distances are discussed crit. and a new set of estd. interionic distances for the liq. alkali halides is obtained. This set is recommended for use in the evaluation and correlation of thermodn. data for simple alkali halide mixts. The new distances are in very good agreement with the x-ray results of Levy and Dansas (1964).

(2e)

C.A. 1974 80: N12

A-2239

1973

Li_2F^+

Li_2Cl^+ , Li_2Br^+ , Li_2I^+ , Li_2F
 Li_2Cl , Li_2Br , Li_2I (—, номенз.
крупное)

Lin S.M., Wharton G.F.,

Grice R.,

Mol. Phys.,

317-328

1973, 26, N2,

из С3; из ВГ3; из I3; из F3; (и,
из С3, из F3 X7624 (периодич.) 1973
Соловьев В. Г., Батырова Г. Г.;
расчёт)
[Редкоцветное "хе. физ. хими АН ССР].
М. 1973, 21с., ил., библиогр. 22 нац.
(Рукопись рук. 6 ВИНИТИ Заяв. 1973,
N 53.28-73 Ден.), (русск.).
Монокристаллические и
периодически сменяющиеся
некоторых приборных
материалов. Издательство
Наука. М. 1973.
Россия, 1973, 105-196 Ден. 60 (Р)

1974

Li гамогибр

Grice et al.

Четырех
пласт
пресеканий.

"Mol. Phys.", 1974,
27, (2), 159-175



(ав. H₂; III)

40718.1233

TC, Ph, Ch, NGU

1974.0892, 102

Li-Hal (Hal=F, Cl, Br) 2.243

1974

Kim Yung Sik — Gordon Roy G. Ion-ion
interaction potentials and their applica-
tion to the theory of alkali halide and
alkaline earth dihalide molecules.

"J. Chem. Phys.", 1974, 60, N 11, 4332—

4344

(англ.) 0156 экз.

130 135

ВИНИТИ

40820.1856

Ph, TC, Ch

LiCl, LiF, LiBr,
135223
(3d. и.е.о.и.)

1974

2324

Laplante Jean-Pierre, Bandrauk Andre D.
Electric field gradients in alkali halide
molecules.

"Can. J. Chem.", 1974, 52, N 11, 2143-
2156 (англ., рез. франц.) 0170 043

158 160

1102

ВИНИТИ

Li - галогениды

1975

13 Б45. Энергия связи молекул галогенидов лития.
Rai S. B., Rai D. K. Binding energy of lithium halide molecules. «Chem. Phys. Lett.», 1975, 30, № 2, 326—328
(англ.)

Энергия связи галогенидов лития вычислены в рамках полуэмпирич. модели Харриса — Поля. Электронная энергия ξ вычисляется вариац. методом только для двух электронов, находящихся в поле атомных остатков, с волновой функцией типа Гайтлера — Лондона. Взаимодействие атомных остатков на расстоянии R описывается потенциалом $E_n(R) = A \exp(-R/\rho) + 1/R$. Для вычисления энергии связи U_b используется выражение $U_b = I_{v1} + I_{v2} + P_2^0 + E_n + \xi$, где I_{v1} и I_{v2} — потенциалы ионизации валентного состояния Li и галогена, соотв., а P_2^0 — величина т. наз. энергии активации галогена. Рассчитанные и эксперим. величины энергий связи хорошо согласуются между собой за исключением молекулы LiJ. Приведены результаты расчета ξ для гидридов щел. металлов.

А. В. Немухин

Энергия
связи

X. 1975. N13

50410.3699

Ch, Ph, TC

40892

Li - 2A₁D₂

(Δ_0) not. Reg.

1975

3165

Thakkar Ajit J.

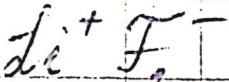
A new generalized expansion for the potential energy curves of diatomic molecules.

"J. Chem. Phys.", 1975, 62, N 5, 1693-1701
(англ.)

0341

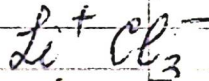
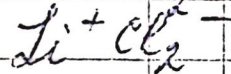
314 317 333

ВИНИТИ



статья 4343

1976



9 Д293. Оптические спектры ионов F_2^- , Cl_2^- и Cl_3^- в соединениях $M+F_2^-$, $M+Cl_2^-$ и $M+Cl_3^-$, изолированных в аргоновой матрице. Andrew Lester. Optical spectra of the disfluoride, dichloride, and trichloride ions in the matrix-isolated $M+F_2^-$, $M+Cl_2^-$, and $M+Cl_3^-$ species. «J. Amer. Chem. Soc.», 1976, 98, № 8, 2147—2152 (англ.)

Изучены УФ-спектры ионов $M+F_2^-$, $M+Cl_2^-$ и $M+Cl_3^-$ ($M=Li$, K , Na , Cs), в матрице аргона на сапфировой подложке при т-ре 17° К. В спектре $M+F_2^-$ обнаружена интенсивная полоса поглощения ~300 нм (340 нм для $M+Cl_2^-$), которая приписана переходу $\sigma-\sigma^*$ в дигалоидном анионе. Предположено, что интенсивная полоса 250 нм в спектре $M+Cl_3^-$ обусловле-

тъ



IV

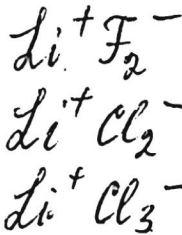
1976 № 9

ли Cs F
2/4

на взаимодействиями атомов металла с атомами Cl и реакциями между CsCl и Cl₂ в матрице. Показано, что относит интенсивность полос 250 и 340 нм резко зависит от конц-ии M и Cl₂. Проведено сопоставление энергий σ—σ*-переходов Cl₂ и Cl₂⁻. Отмечены вариации энергии, переходов в M⁺F₂⁻, обусловленные влиянием индуцированного дипольного момента M⁺. Сделан вывод, что влияние щелочного металла на спектры поглощения анионов соответствует ионной модели поляризующихся ионных пар. Установлена более высокая фотолитич. стабильность M⁺Cl₂⁻ в матрице по сравнению с M⁺F₂⁻, причем наиболее устойчивым является Cs⁺Cl₂⁻. Библ. 29.

И. В. А.

1976



(спектр в матр.)

(+9)

X.1976.19

19 Б164. Оптические спектры ионов дифторида, дихлорида и трихлорида, полученные методом изоляции ионных пар $M^+F_2^-$, $M^+Cl_2^-$ и $M^+Cl_3^-$ в матрицах. Andrew Lester. Optical spectra of the difluoride, dichloride, and trichloride ions in the matrix-isolated $M^+F_2^-$, $M^+Cl_2^-$, and $M^+Cl_3^-$ species. «J. Amer. Chem. Soc.», 1976, 98, № 8, 2147—2152 (англ.)

В спектральной области 200—800 нм при т-рах 10 и 17 К исследованы спектры поглощения ионных пар атомов щел. металлов (Li, Na, K, Rb и Cs) с фтором или

хлором, изолированных в аргоновых матрицах. Измеренные интенсивные полосы поглощения 300 нм в случае $M^+F_2^-$ и 340 нм для $M^+Cl_2^-$ отнесены к $\sigma \rightarrow \sigma^*$ -переходу аниона дигалогенида. Этот переход для Cl_2^- соответствует энергии, в 2 раза меньшей известной для Cl_2 , что согласуется с ионной моделью поляризуемых ионных пар. В случае аниона трихлорида, полученного при взаимодействии металла с хлором и в результате р-ции $CsCl$ с Cl_2 в условиях матрицы, наблюдана интенсивная полоса 250 нм. Аналогичная полоса для аниона трифторида из-за эксперим. трудностей не зарегистрирована.

О. Г. Гаркуша

оптическ. изуч.

70301.9180

Ph, Ch, TC

LiCl·H₂O

43587

LiF·H₂O

1976

отдел

5022

Clementi Enrico, Barsotti Riccardo,
 Fromme Jacob, Watts Robert O. Study
 of the structure of molecular complexes.
 XIV. Coordination numbers for selected
 ion pairs in water. "Theor. chim. acta",
 1976, 43, N 2, 101-120

(анел 9823 ГИК)

784 787

'8 14

ВИНИТИ

60219.3716

Ph, Ch, TC

40892 X=F, Cl, Br, I

LiX, (LiX)₂

1976

XU-11491

Welch D.O., Lazareth O.W., Dienes G.J.,
Hatcher R.D. Alkali halide molecules:
configurations and molecular characteris-
tics of dimers and trimers. "J. Chem.
Phys.", 1976, 64, N 2, 835-839 (англ.)

Рес. LiF₂; 11 0554 пик

541 541 546

ВИНИТИ

Li_2X^+
 $X = \text{Cl, Br, F, I}$

(\emptyset , cent. wcr,
recryst.)

Lamm 5233

1977

Reck & G. P. et al.
J. Chem. Phys.
1977, 66, N9,
3847-53.

X₂Li

X=F, Cl, Br, I

(Do, cub. oct,
tetrahedr.)

lomm 5233 / 1977

Reck G. P., et al.

J. Chem. Phys.,
1977, 66, N9,
3847-53.

Zi X

[X8-18863] 1977

X = F, Cl, Br, I Thakur K.P., et al.

(Ea) 1977, 253, 2, . 397-400

Z. phys. Chemie, Leipzig



(euc. LiF; II)

hi-racor.

Commun 9016

1979

Berkowitz J. et al.

(J) J. Chem. Phys., 1979, 71, ~6,
2624-2636.

•
(acc. hit; m)

J. I. X Lommelk 8449 ! 1979

X = F, Cl, Br, I Mohammad S. Noor

J. Inst. J. Quant. Chem.
1979, 15, 769-82



(ccr. LiF; 1g)

$L_{12}X_2$

августа 8399 . 1979

$X = 2 \text{ audi}$.

Соединение В.Т

Нарвеев В.С.

4.11.

Длг. гориз. Хореограф

1979, 53, 1693-97

LiF
LiCl
LiBr
LiY

заряд
сдвиг,
н.н.
параметр

Lommel 10843) 1980.
Shanker Y; et al.

J. Chem. Phys., 1980,
73 (8), 4056-60.

Запись
щелочных
металлов

1982

5 Л339. Фотоионизационная и фотоэлектронная спектроскопия мономеров, димеров и тримеров галоидов щелочных металлов. Photoionization and photoelectron spectroscopy of alkali halide monomers, dimers, and trimers. Berkowitz J., Batson C. H., Goodman G. L. «Metal Bond. and Interact. High Temp. Syst. Emphasis Alkali Metals. Symp. 181 Meet. Amer. Chem. Soc., Atlanta, Ga, March 31—Apr. 3, 1981». Washington, D. C., 1982, 275—299 (англ.)

В статье обзорного характера детально обсуждены УФ фотоэлектронные спектры двухатомных молекул галоидов щелочных металлов (ГЩМ). Основное внимание удалено адекватному доказательству существования димеров ГЩМ. На примере LiHal показано наличие в перегретом паре LiHal димеров и тримеров. Получены фотоэлектронные и фотоионизационные спектры димеров LiHal. На основе полученных данных обсуждена электронная структура ионов ГЩМ. Библ. 31. Ю. В. Чижов

сб. 1984, № 5

Ташкентиды Чи

1982

Борисов И.А.

Очешка
жирная
свистящая

Изб. АН СССР, Сер. хим.,
1982, №10, 2401-2402.

(сер. Ташкентиды Чи)

Zarzuelo Li

1982

(UOHC)

fossy argy.
coctmoch.

97: 203381a Excited states of polar negative ions. Garrett, W. R. (Health Saf. Res. Div., Oak Ridge Natl. Lab., Oak Ridge, TN 37830 USA). *J. Chem. Phys.* 1982, 77(7), 3666-73 (Eng). The spectra of electronically excited states of strongly polar neg. ions are discussed in terms of general features that may be predicted for such systems. The general properties are then studied through a systematic treatment of Li halide and Li hydride anions. Only one or two excited electronic levels exist for these systems, and the binding energies are so low that a limited no. of bound rotational levels are assocd. with each of the excited states. For the states of lowest binding energies, abnormal rotational level spacings re demonstrated. Also, a discussion is given of the implication for electron scattering and photodetachment studies, of the higher lying dipole states which cross over into the continuum.

(A)⊗

negruge li (uohc)

C.A. 1982, 97, N24

(fossy arg. coctm.)

20 zero ref job

1982.

ifewrh.

memansb

197: 44705r Solution of Rittner potential for alkali metal halides by the Simons-Parr-Finlan method. Ghodgaonkar, A. M.; Ramani, K.; Prabhavalkar, P. D. (West. Reg. Instrum. Cent., Univ. Bombay, Bombay, 400 098 India). *Proc. Nucl. Phys. Solid State Phys. Symp.* 1981 (Pub. 1982). 24 C, 199-200 (Eng). The Rittner potential problem is solved by using the Simons-Parr-Finlan (SPF) technique, and an equation is developed to correlate SPF coeffs. with spectroscopic consts. and polarizability of constituent ions. An excellent agreement is obtained for dissociation energies for 20 alkali halides with available exptl. data, and a satisfactory fit for SPF coeffs. is also obtained.

Do, pacis

C.A. 1982, 97, w6

Januszewski
Wojciech
Klemantaski

1982

97: 136811a Estimate of entropy of vacancy migration in alkali halide crystals. Galanov, Yu. I. (Tomsk. Politekh. Inst., Tomsk, USSR). *Izv. Vyssh. Uchebn. Zaved., Fiz.* 1982, 25(8), 104-5 (Russ). An expression was developed to calc. the entropy of vacancy migration as function of rate of vibration of the crystal lattice.

Сораяс.
вакансий

C.A.1982, 97, N16

Li X

1982

X=F, Cl, Br, I

M, g

(+2)

Х. 1983, 19, N 10

10 Б375. Дипольные моменты, молекулярные потенциалы ионизации и асимптотическая форма электронной плотности для галоидоводородов и других гетероядерных двухатомных молекул. Dipole moments, molecular ionization potentials, and asymptotic form of electron density in hydrogen halides and other heteronuclear diatomic molecules. March N. H., Mucc i J. F. «J. Chem. Phys.», 1982, 77, № 9, 4555—4557 (англ.)

Систематизированы имеющиеся в лит. данные по дипольным моментам галоидоводородов и гетероядерных двухатомных молекул типа MX ($M=Li, Na; X=F, Cl, Br, I$). Установлено, что значения дипольных моментов (D) коррелируют с молек. Пт ионизации (I). Показано, что ф-ция электронной плотности $\rho(r)$ при больших r м. б. записана в асимптотич. форме $\rho(r) = \rho_0(r) [1 + A \cos \theta / r^2]$, где константа $A = D/21$, θ — угол между осью молекулы, связывающей 2 атома, и направлением вектора r .

Л. А. Корытко

1) NaX ($X=F, Cl, Br, I$)
2) галоидоводороды (M, g)

d^x-anom. mon-nit

1984

20 200 refills

U.S. 2024. 11/11/84

(romels. kruske)

102: 32683r A new representation of potential energy curves for diatomic molecules. Arteca, Gustavo A.; Fernandez, Francisco M.; Castro, Eduardo A. (Div. Quim. Teor., INIFTA, 1900 La Plata, Argent.). *J. Chem. Phys.* 1984, 81(10), 4540-5 (Eng). A new method is given for constructing potential energy curves that allows one to incorporate available exptl. information systematically. It consists of a variable transformation that properly takes into account the behavior of the vibrational potential when the nuclei are far apart. As a result, the Dunham power series are changed into a sequence with improved convergence properties. Potential energy-curves obtained in this way are free from spurious max. and unphys. singularities. The method predicts dissociation energies for both ionic and covalent mols. that are in much closer agreement with expt. than those obtained by other procedures that make use of the same input data. Results are given for 20 alkali halides and 3 covalent mols.

C. A. 1985, 102, n.y.

1984

$M_n X_{n-1}$

23 Б1115. Структура кластеров галогенидов щелочных металлов. The structure of alkali halide clusters. Diefenbach J., Martin T. P. «Surface Sci.», 1985, 156, № 1: Small Part. and Inorg. Clusters Proc. 3rd Int. Meet., Berlin (West), 9—13 July, 1984. Pt 1, 234—240 (англ.)

Проведены расчеты полной энергии различных катионных кластеров типа $(M_n X_{n-1})^+$, где M — атом щел. металла, X — атом галогена в рамках жесткой ионной модели (ЖИМ) с нулевым дипольным моментом и модели поляризуемости ионов (МПИ). На основании данных по энергиям 134 определенных исходных структур найдены наиболее стабильные геометрич. конфигурации ионов $(Na_n Cl_{n-1})^+$. Согласно расчетам, лишь кластеры состава $M_4 X_3^+$, $M_5 X_4^+$ и $M_{16} X_{15}^+$, должны иметь структуру сходную с аналогичными кластерами из $NaCl$. При помощи соконденсации NaJ и CsJ в инертном газе получены смешанные кластеры, идентифицированные мето-

M -атом
щелочн. металлов

X -атом галоген

Структура

Х. 1985, 19, N 23

дом МС в виде катионов $\text{Na}_x\text{Cs}_y\text{J}_{x+y-1}^+$. Согласно масс-спектральным данным повышенной стабильностью обладают ионы $\text{NaCs}_3\text{J}_3^+$. Расчеты полной энергии показывают, что наибольшее уменьшение энергии происходит при замене атома Cs на Na в ионах Cs_4J_3^+ .

Д. В. Загоревский



MX

1984

M-igecorH. uicidu^r Inoue A.,
X-zaeeozes, Kojima K., et al.

J. Solution Chem. 1984,
13(11), 811-23.

PK;
cixinx

(ac. uIgCl₂; iI)

Zanoverlegh
Ugel. leem aant,
Fran. zaft,
Memadelt

1984

101: 157813u The structure of elemental and molecular clusters.
Martin, T. Patrick (Max-Planck-Inst. Festkoerperforsch., Stuttgart,
Fed. Rep. Ger.). *Festkoerperprobleme* 1984, 24, 1-24 (Eng).
A review with 78 refs. is given on the structures and related
properties (including mass spectra and dissoen. energies) of several
kinds of at. and mol. clusters (including alkali metal halides, rare
gases, and metals).

(Dfgos, cmayk-
mepa, Do)

C.A. 1984, 101, n 18

Сірник мурас 1984

ZrX_4

Rambidi N.G.,
Stepanov N.F.,
et al.

$X = Al, Y = O, Cl, F$

(ообзор) Khim. Svyaz Str.

Mol. 1984, 5-20.

(аер. Сірник мурас MNO_2 , III)

1985



X — галоген

M — щелочной
металл

8 Д73. Щелочно-водородные дигалогениды как примеры колебательной связи. Alkali hydrogen bihalides as candidates for vibrational bonding. Ault B. S., Manz J. «Chem. Phys. Lett.», 1985, 115, № 4—5, 392—394 (англ.)

Обсуждается колебательная связь в соединениях $M^+ \cdot X H X^-$, где X — галоген, а M — щелочной металл.

колебательн.

свеж
ф. 1985, 18, N 8

1985

Двухатомные
галогениды
щелочных
металлов

До, порядок
связи

17 Б1160. Энергии диссоциации и порядки связей для двухатомных галогенидов щелочных металлов. Bond dissociation energies and bond orders for diatomic alkali halides. Reddy R. R., Reddy A. S. R., Reddy V. K. «Theor. chim. acta», 1985, 67, № 3, 187—191 (англ.)

Для оценки энергий диссоциации (D_{AB}) и порядков связей (q) в молекулах галогенидов щел. металлов предложены след. выражения: $D_{AB} = \bar{D}_{AB} + +31,973 e^{0,363\Delta x}$, $D_{AB} = \bar{D}_{AB} (1 - 0,2075\Delta x)^q e + 52,29\Delta x$, $q = 1,5783 \cdot 10^{-3} (\omega_c^2 \bar{r}_c / B_c)^{1/2}$, где $\bar{D}_{AB} = (D_{AA} \cdot D_{BB})^{1/2}$, Δx — разность электроотрицательностей по Полингу ($x_A - x_B$). Значения D_{AB} , вычисленные по этим ф-лам, отличаются от эксперимент. не более, чем на 4,5 и 5,3% соотв. Полученные результаты сопоставлены с др. оценками.

В. М. Ковба

Х. 1985, 19, N 17.

1985

Двухатомные
молекулы
галогенидов
щелочных
металлов

8 Д122. Энергия диссоциации и порядки связей в двухатомных галогенидах щелочных металлов. Bond dissociation energies and bond orders for diatomic alkali halides. Reddy Raju R., Reddy Agarala S. R., Reddy Vanka Krishna. «Theor. chim. acta», 1985, 67, № 3, 187—191 (англ.)

Для двухатомных молекул галогенидов щелочных элементов проведен расчет энергии диссоциации и порядка связей с использованием простых эмпирических соотношений.

$$D_{AB} = D_{AB} + 31,973 \exp(0,363 \Delta x) \quad (1)$$

$$D_{AB} = \bar{D}_{AB} (1 - 0,2075 \Delta x r_e) + 52,29 \Delta x, \quad (2)$$

расчет
и
диссоциации
и порядка связей
ср. 1985, 18, № 8



где $D_{AB} = (D_{AA} \cdot D_{BB})^{1/2}$ и Δx — разность электроотрицательностей по Паулингу ($X_A - X_B$), а r_e — межъядерное расстояние. Полученные по этим ф-лам энергии диссоциации сравниваются с данными, выведенными с помощью эмпирич. соотношения Паулинга $D_{AB} = D_{AB} + 30(\Delta x)^2$ и Матча $D_{AB} = D_{AB} + K\{1 - \exp(-\alpha\Delta x^2)\}$ (где $K = 103$ и $\alpha = 0,29$). Обнаружено, это энергии диссоциации для фторидов сильно отличаются от общей тенденции, что объясняется ослаблением связи фтора со щелочными элементами по сравнению с ожидаемой на основании экстраполяции данных для более тяжелых галогенов. Ошибка в энергии диссоциации по сравнению с эксперим. данными составляет $\sim 4,5$ и $5,3\%$ для ур-ний (1) и (2) соответственно, тогда как расчет по ф-ле Паулинга дает ошибку $40,2\%$. Порядок связи q связан со спектроскопич. константами ω_e и B_e с помощью соотношения $q = 1,5783 \cdot 10^{-3} (\omega_e^2 r / B_e)^{1/2}$. Расчетные величины оказались в хорошем соответствии с литературными данными.

Л. Д. Б.

Lit (Om. 30934) 1988

$\chi = F, Cl, Br, I$ Chaturvedi S.D.,
neopen. Sharma S.C. et al.,
pacren. Indian J. Phys. B 1988,
no cm. 62, N 1, 101-105.

LiX
(X=F, Cl, Br)

1990

113: 65520r Electronic structures of lithium halide monomers and dimers: ionization energies and electron affinities. Tomasello, Pasquale; Von Niessen, Wolfgang (Dip. Fis., Univ. Catania, I-95129 57 Catania, Italy). *Mol. Phys.* 1990, 69(6), 1043-58 (Eng). The electronic structure of lithium halide LiX (X = F, Cl, Br) monomers and dimers is investigated by focusing mainly on the vertical ionization energies in the entire valence region. For the monomers the electron affinities are also studied. The investigations are performed using two Green-function methods to calc. the ionization energies and the electron affinities with the inclusion of correlation and relaxation effects. For the electron affinities large basis sets on Li and the halogens were employed. For the monomers LiCl and LiBr, Koopmans' approxn. provides good results for the lowest ionic states, but present investigations demonstrate that for the higher-energy states and for the remaining mols. many-body effects are strong. This feature is also obtd. in the theor. detn. of the electron affinities of the monomers, where shifts of 10-20% from the Koopmans values are noticed. In the inner valence region correlation effects dominate the ionization process for the essentially halogen-localized Cl 3s and Br 4s orbitals, in particular for LiBr and its dimer. For the bromides calcns. indicate a breakdown of the mol.-orbital picture for the ionization of the σ inner valence orbital. Satisfactory results are also obtained for the dimerization energies.

Ae, J, Aug

*C.A. 1990,
113, N8*

M-X

[OM · 36107]

1991

M=Li, Na, K,
Rb, Cs

Mestdagh J. M.,
Visticot J. P.,

X=F, Cl, Br, I
Энергии связи,
M, эксприм.
меры.

Chem. Phys. 1991, 155,
79-89,

Semiempirical electro-
static polarization model

of the ionic bonding in alkali
and alkaline earth hydroxides.
and halides.

(MHal)₂ 1993
M-Ученый Cave Robert J., Oro Ian,
деман

J. Chem. Phys., 1993,
99, N 12, C. 9764-69
M.H.

Ф.И.Х. № 22, 1994, 22 51081

1994

$M_2X_5^{3-}$

$M_2X_7^{3-}$

M-usulOH-let

X-1anpilk

meopemereck
pacem
cnafuratholic

C.A. 1994, 121, N10

118249h Construction principle for stable multiply-negative charged molecular systems. Part II. Triply-negative charged systems. Scheller, M. K.; Cederbaum, L. S. (Dip. Chim., Univ. Perugia, 06100 Perugia, Italy). *J. Chem. Phys.* 1994, 100(12), 54355 (Eng). Following a recently introduced construction principle, triply-neg. charged compds. are designed and investigated. The specific series of systems discussed are $M_2X_5^{3-}$ alkali halides and $M_2X_7^{3-}$ alk. earth halides. For the highly ionic members in these series considerable evidence for their stability to fragmentation and electron autodetachment is obtained at various levels of theory.